



سنجش از دور و GIS ایران



سنجش از دور و GIS ایران سال پانزدهم، شماره دوم، تابستان ۱۴۰۲
Vol.15, No. 2, Summer 2023 Iranian Remote Sensing & GIS

۱-۱۶

مقاله پژوهشی

ارزیابی تغییرات اکولوژیکی و تحلیل الگوهای حاکم بر چشم‌انداز

مطالعه موردی: شهرستان ورزقان

آذر پویان جم^۱ و حسن محمودزاده^{۲*}

۱. کارشناس ارشد سنجش از دور و سیستم اطلاعات جغرافیایی، دانشگاه تبریز، تبریز
۲. دانشیار دانشکده برنامه‌ریزی و علوم محیطی، دانشگاه تبریز، تبریز

تاریخ پذیرش مقاله: ۱۴۰۰/۱۲/۲۱

تاریخ دریافت مقاله: ۱۴۰۰/۰۶/۰۱

چکیده

افزایش جمعیت شهرنشین، در پی مهاجرت از روستاهای توسعه ناهمانگ روزگاریها و تبدیل آنها به شهر، از عوامل مشکل‌زا در ساختار محیطی کشورهای در حال توسعه محسوب می‌شود. از نتایج آن نیز تغییرات اکولوژیکی، بهویژه تخریب مناظر طبیعی و کاهش آنها به‌نفع مناظر انسان‌ساخت و بر هم خوردن الگوهای مکانی پوشش طبیعی است. هدف از این پژوهش ارزیابی تغییرات اکولوژیکی و تحلیل الگوهای حاکم بر چشم‌اندازهای شهرستان ورزقان، با استفاده از متريک‌های کمی و کيفی سيمای سرزمين در سال‌هاي ۱۳۹۸، ۱۳۸۱، ۱۳۶۳ است. ماهیت تحقیق توسعه‌ای- کاربردی و توصیفی- تحلیلی است. داده‌ها از طریق مطالعات کتابخانه‌ای و بررسی‌های میدانی گرد آمد؛ پس از تهیه نقشه‌های پوشش زمین، کشف تغییرات محاسبه شد و متريک‌های کمی و کيفی سيمای سرزمين، روش‌های مبتنی بر سنجش از دور، اندازه‌گیری شد. نتایج نشان داد بيشترین تغیيرات در زمينه کلاس‌های پوشش گياهی، بهویژه در سطح کمتر اكم و در بازه سال‌هاي ۱۳۹۸ تا ۱۳۸۱ بوده است که علاوه‌بر کاهش مساحت، شامل افزایش تعداد لکه نیز می‌شود. در اين بازه، رشد کلاس باير و مرتض بيشتر است. همچنان دو متريک کمی تعداد لکه (NE) و درصد چشم‌انداز (PLand)، از متريک‌های کمی و شاخص مساحت لکه (Patch) و فشردگی لکه (Area) به نحو مطلوب‌تری تغییرات و الگوهای حاکم بر سيمای يك سرزمين را نشان می‌دهند.

کليدواژه‌ها: تغییرات اکولوژیکی، متريک‌های سيمای سرزمين، Fragstats، شهرستان ورزقان.

* نويسنده مکاتبه‌کننده: گروه جغرافيا و برنامه‌ریزی شهری، دانشکده برنامه‌ریزی و علوم محیطی، دانشگاه تبریز، تبریز، بلوار ۲۹ بهمن، کد پستی: ۵۱۶۶۶۱۶۴۷۱. تلفن: ۰۴۱ ۳۳۳۹۲۲۹۶. فکس: ۰۴۱ ۳۳۵۶۰۱۳.

Email: mahmoudzadeh@tabrizu.ac.ir
<https://orcid.org/0000-0001-5465-1114>
<https://dx.doi.org/10.48308/gisj.2023.102331>



Copyright: © 2023 by the authors. Submitted for possible open access publication under the terms and conditions of the Creative Commons Attribution (CC BY) license (<https://creativecommons.org/licenses/by/4.0/>).

۱- مقدمه

زیستگاهی دارای کیفیت کمتر است (Lam et al., 2018; Alan et al., 2002). قطعه قطعه شدن ممکن است شامل کاهش زیستگاه یا مجاز شدن به لکه های زیستگاهی باشد که نتیجه آن پدید آمدن لکه های کوچک و در نهایت، لکه هایی با فاصله بیشتر است (Hunter, 1990).

در حال حاضر، شهرنشینی به نیروی محرك اصلی ایجاد تغییر در فضاهای اکولوژیکی تبدیل شده است (Leite et al., 2018; Zhang et al., 2018). دلیل اصلی این مسئله تشدید استفاده از زمین، طی فرایند شهرنشینی است که به تغییر در فاکتورهای اکولوژیکی منطقه ای منجر می شود (Ouedraogo et al., 2016; Koopman et al., 2018).

شهرنشینی ساختار و عملکرد فضاهای اکولوژیکی را تغییر داده و فضاهای اکولوژیکی طبیعی را به فضای بوم شناختی زیر سلطه انسان تبدیل کرده است (Partl et al., 2017; Wang et al., 2018)؛ در نتیجه، تعارض بین اکولوژی های اجتماعی، اقتصادی و طبیعی شهری افزایش یافته و فشار بر فضاهای اکولوژیکی همچنان در حال رشد است. این موارد به کاهش کیفیت فضاهای اکولوژیکی در سطح کل حوزه می انجامد که در الگوهای حاکم بر سیمای چشم انداز، تأثیر منفی می گذارد (Abu Hammad & Tumeizi, 2012) بنابراین اینکه یکپارچگی و تعادل اکوسیستم ها حفظ شود و توسعه پایدار به دست آید، لازم است در طرح ریزی و برنامه ریزی یک منطقه در ابعاد گوناگون، جنبه های متفاوت محیط زیست از جمله الگوهای مکانی چشم انداز های منطقه، شناسایی و مطالعه عناصر مهم و تأثیرگذار در کیفیت آن مورد توجه قرار گیرد که دانش سنجش از دور دست یابی به این مهم را امکان پذیر کرده است.

شهرستان ورزقان یکی از شهرستان های آذربایجان شرقی است که در بخش شمالی این استان و روی دامنه کوه های قره داغ جای گرفته است (Alipour et al., 2016). این شهرستان شامل مناطق اوزم دل شمالی، اوزم دل جنوبی، دیزمار باختری و دیزمار خاوری

آشوب و اختلال در محیط ها مسئله ای انکار ناپذیر است و این امر سیمای سرزمین را به موزاییکی از لکه های گوناگون زیستگاهی تبدیل می کند (Panahandeh & Feyzi, 2020). اکوسیستم های جنگلی زیستگاه بسیاری از گونه های گیاهی و جانوری است که چشم اندازی زیباتر از سایر اکوسیستم ها ایجاد می کند و ارجحیت بیشتری بر دیگر چشم اندازها دارد (Akbari & Kalbi, 2019). امروزه حفظ تنوع چشم انداز در اکوسیستم های گوناگون اهمیت بسیاری یافته است و آنچه بر اهمیت روزافزون تنوع چشم انداز می افزاید نقش آن در حفظ ثبات اکوسیستم هاست. حضور گونه های گیاهی بیشتر، در یک منطقه، ساختار پیچیده تری به چشم اندازهای طبیعی خواهد داد و در نتیجه، این اکوسیستم ها در پاسخ به تغییرات، توانایی بیشتری دارند و با ثبات ترند. همچنین تنوع زیستی بیشتر اکوسیستم ها نشان دهنده پایداری بیشتر آنهاست (Satayshi et al., 2013). به دلیل بی سابقه بودن سرعت جنگل زدایی و کاهش جنگل ها، قطعه قطعه شدن زیستگاه ها به معضلی اصلی در حفاظت چشم انداز های جنگلی تبدیل شده است (Matthews et al., 2014). بیشتر جنگل های باقی مانده به دست انسان ها تغییرات شدیدی یافته اند و اغلب، به لکه های تقریباً کوچک جنگلی، قطعه قطعه شده اند (Meade, 2014). از بین رفت و تکه تکه شدن چشم انداز ها محرك های اصلی کاهش تنوع زیستی شناخته شده است (Calviño et al., 2012). علاوه بر کاهش تعداد کل گونه ها، این نگرانی وجود دارد که انواع گونه هایی که در تکه های جنگلی از بین رفته اند دارای ارزش بالای حفاظتی، مانند تراکم اندک، یا در زمرة گونه های تخصصی زیستگاه و گونه هایی با دامنه های محدود جغرافیایی باشند (Gorgani, 2012)؛ به عبارت دیگر، قطعه قطعه شدن چشم انداز شامل فرایندی است که به تاپیوستگی پیکربندی فضایی چشم انداز ختم می شود (De Montis et al., 2017). قطعه قطعه شدن چشم انداز می تنسی بر کاهش یک زیستگاه و جایگزینی آن با

پاؤدیوال^۲ و همکاران (۲۰۱۹) آثار تغییرات سیمای سرزمین در حوضه آبخیز پهوا (نپال) را در عرضه خدمات اکوسیستم و بازیابی جنگل‌ها در طول چهل سال، ارزیابی کمی و کیفی کردند. نتایج این پژوهش نشان‌دهنده تبدیل جالب توجه اراضی کشاورزی، علفزارها و جنگل‌های تخریب شده به جنگل‌های انسانی و مترکم بوده است. این جنگل‌ها، در قیاس با دیگر انواع پوشش‌های اراضی، مزایای تقریباً بیشتری دارند. دینکا و چاکا^۳ (۲۰۱۹) نیز در حوضه آدی، ارتفاعات مرکزی اتیوپی، پژوهشی انجام داده‌اند. نتایج تجزیه و تحلیل تغییرات کاربری و پوشش اراضی در این پژوهش نشان داد پوشش اراضی جنگلی کاهش و اراضی کشاورزی و بوته‌زار گسترش یافته است. در جمع‌بندی این پژوهش‌ها، باید گفت بر اهمیت محاسبه میزان تغییرات و پیش‌بینی‌های دقیق درباره الگوی تغییرات آینده سیمای سرزمین، برای جلوگیری از تغییر نامطلوب آن و حفظ ثبات و پایداری اکوسیستم در حوضه آبخیز تأکید داشته‌اند (Zhang et al., 2019).

در عرصه داخلی، رحیمی^۴ و همکاران (۲۰۱۶) در مقاله‌ای اشاره کرده‌اند که بوم‌شناسی سیمای سرزمین غالب مبنی بر الگوی لکه و پس‌زمینه است. نتایج پژوهش احمدی میرقائد^۵ و همکاران (۲۰۱۶) با نام «تلفیق عناصر بصری و محیط‌زیستی با استفاده از روش‌های فازی و چندمعیاری در ارزیابی کیفیت زیبایی‌شناختی حوزه آبخیز قره‌سو، استان گلستان» نشان داد معیارهای تیپ پوشش گیاهی، قابلیت دید آبشار، تراکم پوشش گیاهی، نزدیکی به رودخانه و میزان بکربودن، به ترتیب در مقایسه با معیارهای دیگر در ارزیابی کیفیت زیبایی منطقه مطالعاتی، در اولویت قرار دارند. سبزقبائی^۶ و همکاران (۲۰۱۶)،

-
1. Wang
 2. Paudyal
 3. Dinka & Chaka
 4. Rahimi
 5. Ahmadi Mirghaed
 6. Sabzghobai

می‌شود. طبق گزارش‌های کارشناسان زمین‌شناسی و اکتشافات معدنی، ورزقان مهم‌ترین کانی‌های فلزی مس، طلا، نقره و مواردی از این دست را دارد و از نظر مراتع و جنگل، غنی است (Nuri, 2004). ارزیابی تغییرات اکولوژیکی هر منطقه، با توجه به تأثیر آن در چشم‌اندازهای طبیعی و انسانی به لحاظ زیبایی‌شناختی و در پی آن، ارتقای سلامت روان شهروندان، می‌تواند برنامه‌ریزان شهری را در جهت بهبود کیفیت محیط سوق دهد. در این زمینه، پژوهش پیش رو سعی داشته است در سطح شهرستان ورزقان، تغییرات اکولوژیکی را ارزیابی و الگوهای حاکم بر چشم‌انداز را با استفاده از متريک‌های سیمای سرزمین، تحلیل کند. بدین‌منظور محققان این پژوهش، از یکسو، به ظرفیت بالای چشم‌اندازهای طبیعی شهرستان مورد نظر وجود بخشی از گنجینه سبز جنگل‌های ارسباران در این منطقه و از دیگرسو به گسترش ساخت‌وسازهای انسانی، اعم از مسکونی و صنعتی، همچون معادن فعال در حال گسترش، توجه داشته‌اند.

- پرسش‌های مطرح شده در این پژوهش عبارت‌اند از:
- بیشترین تغییرات به کدام‌یک از چشم‌اندازها در سطح شهرستان ورزقان مرتبط است؟
- کدام‌یک از متريک‌های کمی و کیفی الگوهای حاکم بر چشم‌اندازها را بهتر بازگو می‌کنند؟

۲- پیشینه پژوهش

پژوهش‌هایی در این زمینه، با تکیه بر دانش سنجش از دور، در عرصه‌های داخلی و خارجی انجام شده است که به چند مورد اشاره می‌شود.

در عرصه خارجی، وانگ^۱ و همکاران (۲۰۱۹) در پژوهشی، روند تغییرات الگوی سیمای سرزمین حوضه آبخیز رودخانه ماناس را بررسی کرده‌اند. نتایج بیان می‌کند روند تکه‌تکه شدن چشم‌انداز، با کاهش تعداد لکه‌ها و افزایش بهم‌بیوستگی، کمتر شده است. هجوم جمعیت و احیای خاک شور-قلیایی دو عامل مهم و اصلی در تغییرات الگوی منظر این منطقه بود.

ارسیاران شمرده می‌شود و از لحاظ ساختار طبیعی و مورفولوژیک، به ساختار طبیعی و مورفولوژیک ارسیاران شباخت دارد (Hafezzadeh, 1997: 31). مرکز آن شهر ورزقان است. این شهرستان از دو بخش مرکزی و بخش خاروانا تشکیل شده و بر اساس نتایج سرشماری سال ۱۳۹۵، جمعیت شهرستان ورزقان ۵۲۶۵۰ نفر است (سرشماری عمومی نفوس و مسکن، ۱۳۹۵).

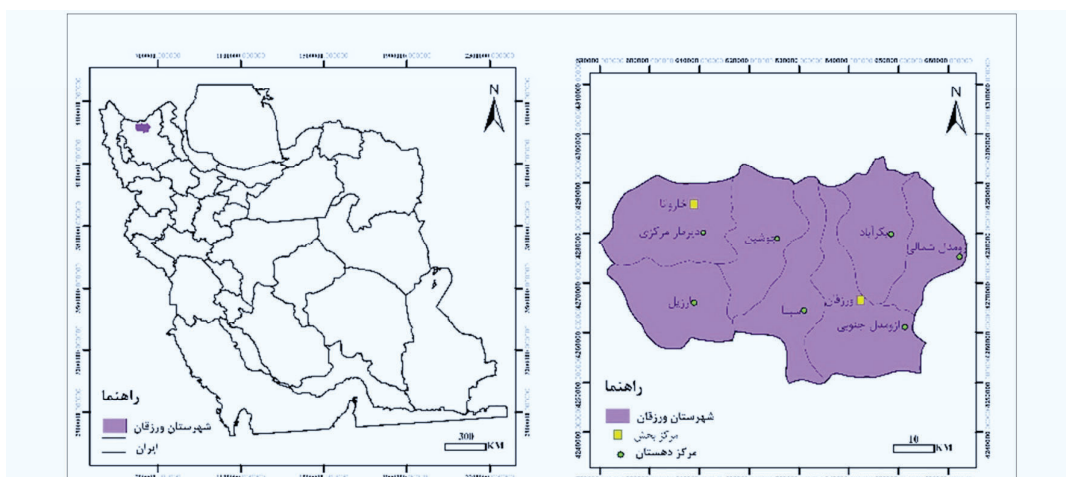
جادبههای گردشگری شهرستان ورزقان در نوع خود بی‌نظیر و دارای ارزش ملی و جهانی‌اند. از بارزترین آنها می‌توان به بخش‌هایی از جنگل‌های ارسیاران اشاره کرد که در شمال این شهرستان واقع شده است و از زیباترین چشم‌اندازهای طبیعی این منطقه محسوب می‌شود. وجود معادن گوناگون، مانند معدن مس سونگون، نیز یکی از علل جمعیت‌پذیری این شهرستان است که از یکسو، سبب رونق اقتصادی و کمک به کاهش رشد بیکاری افراد بومی و از سوی دیگر، سبب تخریب بخش شایان توجهی از پوشش گیاهی، به‌ویژه بخش‌هایی از جنگل‌های ارسیاران، شده است (Faraji Sabokbar et al., 2012).

در پژوهشی، الگوهای سیمای سرزمین را در قالب چشم‌اندازهای زیست‌محیطی، تحلیل کردند. سعیدی و سعیدی^۱ (۲۰۱۷)، در مقاله‌ای با نام «ثبت ویژگی‌های بصری سیمای سرزمین با استفاده از شاخص‌ها بر اساس نظریه زیبایی شناختی سیمای سرزمین»، هریک از شاخص‌ها را از طریق نرم‌افزار Fragstat تحلیل کردند و ویژگی‌های بصری سیمای سرزمین را با استفاده از شاخص‌های به‌دست‌آمده از نه مفهوم نظریه-مبانی مرتبط با درک سیمای سرزمین را ثبت کردند.

۳- محدوده مورد مطالعه

شهرستان ورزقان، با مساحت حدود ۴۰۵۷۰,۸ کیلومترمربع، در بخش شمالی استان آذربایجان شرقی واقع شده (شکل ۱) و ارتفاع متوسط این شهرستان از سطح دریا ۱۹۷۰ متر است. ورزقان از سمت شمال با شهرستان کلیبر و جلفا، از شرق با شهرستان اهر، از جنوب با شهرستان‌های هریس و تبریز و از غرب با شهرستان مرند هم‌جوار است (Alipour et al., 2016).

این شهرستان بخشی از منطقه وسیع و قدیمی



شکل ۱. نقشه موقعیت جغرافیایی شهرستان در کشور

بسیار تأثیرگذار است و باعث افزایش مقدار عددی پیکسل‌ها (DN) می‌شود. تأثیر جذب امواج الکترومغناطیسی نیز به کاهش مقدار عددی پیکسل‌ها می‌انجامد. اثر شکست امواج الکترومغناطیسی زیاد نیست اما تأثیر جذب و پخش را باید با استفاده از تصحیحات رادیومتریکی برطرف کرد. تقدم و تأخیر تصحیحات هندسی و رادیومتریکی بسیار مهم است و با توجه به نوع سنجنده معین می‌شود اما، در ماهواره لندست، ابتدا تصحیحات رادیومتریکی و اتمسفری را لندست، ابتدا تصحیحات رادیومتریکی و اتمسفری را انجام می‌دهیم و بعد وارد فاز تصحیحات هندسی می‌شویم (Pouyan Jam, 2018).

۴-۱-۲- تصحیحات اتمسفری
به علت وجود ذرات معلق در اتمسفر، طول موج‌های انرژی الکترومغناطیسی، به ویژه طول موج کوتاه بیشتر تحت تأثیر قرار می‌گیرند و سبب تغییرات میزان انرژی رسیده به سنجنده می‌شوند. برای رفع اثر آن، از روش‌های گوناگون تصحیحات اتمسفری بهره می‌گیریم. در این تحقیق، برای تصحیحات اتمسفری، روش الگوریتم FLAASH با استفاده از نرم‌افزار پردازش تصویر ENVI 5.3 به کار رفته است. یکی از روش‌های بسیار دقیق و مهم در زمینه تصحیحات اتمسفری تصاویر ماهواره‌ای، الگوریتم FLAASH است. این الگوریتم که بر مبنای مدل‌های انتقال تابشی تهیه شده است، خطاها ناشی از جذب و پخش اتمسفر را اصلاح می‌کند.

۴-۱-۳- بارزسازی تصاویر
برای افزایش قدرت تفسیر تصاویر ماهواره‌ای، به برخی روش‌های معمول بهمنظور بارزسازی تصاویر احتیاج است تا وضوح و کنتراست تصویر افزایش یابد. در این تحقیق، برای بارزسازی دو تصویر متعلق به سال‌های ۱۳۶۳ و ۱۳۸۱ که از لندست ۵ دریافت شده‌اند، از روش متعادل‌سازی هیستوگرام استفاده شده است. در این روش، ابتدا باندهای تصاویر منطقه براساس سیستم RGB انتخاب و سپس به روش بسط هیستوگرام، به ارزش‌های

۴- روش و ابزار تحقیق

پژوهش حاضر، از نظر روش، توصیفی- تحلیلی و دارای ماهیت توسعه‌ای- کاربردی است. داده‌های مورد نیاز از طریق مطالعات کتابخانه‌ای، اسنادی و میدانی به دست آمد و از داده‌های سری ماهواره لندست ۵ و ۸ (ستجندۀ‌های TM و OLI) در تاریخ‌های ۱۹۸۴/۱۰/۷ و ۲۰۰۲/۲۶/۶ و ۲۰۱۹/۱۱/۷ (معادل با تاریخ شمسی ۱۳۶۳/۰۴/۲۰، ۱۳۸۱/۰۴/۰۵ و ۱۳۹۸/۰۴/۲۰) استفاده شد.

نرم‌افزارهای مورد استفاده در این پژوهش عبارت‌اند از نرم‌افزار ENVI 5.3، نرم‌افزار Terrset و نرم‌افزار Fragstats. در تحقیق پیش رو، برای دستیابی به نتیجه، مجموعه‌ای از روش‌ها روی داده‌های اصلی اجرا شد. این داده‌ها شامل تصاویر ماهواره‌ای متعلق به سه دورۀ زمانی یادشده، در بازۀ ۳۵ ساله (۱۳۹۸ تا ۱۳۶۳) است که شامل سه بخش می‌شود:

- (۱) تهیۀ نقشه‌های طبقه‌بندی پوشش زمین؛
- (۲) آشکارسازی تغییرات و بررسی پوشش زمین؛
- (۳) محاسبۀ متربک‌های کیفی و کمی سیمای سرزمین.

۴-۱-۴- تهیۀ نقشه‌های طبقه‌بندی پوشش زمین
به منظور استخراج نقشه‌های پوشش زمین از تصاویر ماهواره‌ای، به ترتیب عملیات پیش‌پردازش، پردازش و پس‌پردازش انجام شد.
پیش‌پردازش یا آماده‌سازی تصاویر ماهواره‌ای شامل مراحلی می‌شود که در ادامه می‌آید.

۴-۱-۵- تصحیح رادیومتریک
تصحیحات رادیومتریکی به تصحیحاتی دارد اشاره که لازم است روی تصاویر اعمال شود زیرا انرژی امواج الکترومغناطیسی، طی مسیر عموری خود، از پستی بلندی‌ها و شب زمین تأثیر پذیرفته و در نهایت به سنجنده رسیده است. این تأثیرپذیری شامل جذب، پخش و شکست امواج الکترومغناطیسی می‌شود. اثر پخش امواج الکترومغناطیسی در محدوده طیف مرئی

می شود. مرحله دوم پس از طبقه بندی است که با هدف بازبینی صحت و تصحیح نتایج طبقه بندی انجام می شود. علاوه بر عملیات میدانی، نمونه های آموزشی مورد نیاز برای استخراج نقشه های کاربری اراضی را می توان با استفاده از داده های در دسترس گوگل ارث و داده های تصویری نیز جمع آوری کرد. در تحقیق پیش رو، نمونه های آموزشی با استفاده از نرم افزار گوگل ارث و مطالعه و بررسی نقشه های زمین شناسی و خاک شناسی منطقه برداشت شده و در نهایت، از آن به منظور صحت اعتبار سنجی طبقه بندی، که به عملیات پس از پردازش مرتبط است، استفاده شد.

طی دو مرحله قبل، نقشه های پوشش زمین از تصاویر مستخرج شد. در نهایت، پس پردازش انجام شد که شامل این موارد است:

۴-۲-۱- ارزیابی صحت کار

هیچ طبقه بندی، تا زمانی که دقیق آن آزموده نشود، تکمیل نیست (Lillesand, 2001). در این تحقیق نیز، برای سنجش میزان اعتبار طبقه بندی انجام شده، پارامترهای زیر براساس ماتریس خطای محاسبه شد.

دقیق کلی: از نسبت پیکسل های به درستی طبقه بندی شده بر تعداد کل پیکسل های طبقه بندی شده به دست می آید.

ضریب کاپا: تکنیک چند متغیره گسسته ای است که اگر یک ماتریس خطای تفاوت معنی داری با دیگری داشته باشد، در ارزیابی صحت برای تصمیم گیری های آماری، به کار می رود.

۴-۲-۲- آشکارسازی تغییرات و بررسی پوشش زمین

این عملیات در محیط نرم افزار Terrset انجام شد و با ورود تصاویر رستری آماده شده از نقشه های پوشش زمین و مقایسه آنها در دو بازه ۱۳۶۳ تا ۱۳۸۱ و ۱۳۸۱ تا ۱۳۹۸، تغییرات رخداده در پوشش اراضی شهرستان ورزقان آشکارسازی شد.

1. Image to Image

۰-۲۵۵ تبدیل می شوند. اما در مورد تصویر سال ۱۳۹۸ که از ماهواره لندست ۸ استخراج شده است، با توجه به وجود باند پانکروماتیک با قدرت تفکیک پانزده متر در سنجنده (Fusion) از این ماهواره، از عملیات تلفیق باندها (TIRS) استفاده شد و ضمن آن، قدرت تفکیک باندهای از سی متر به پانزده متر ارتقا یافت که Multispectral خود سبب بهبود و بارز سازی بهتر تصویر شد.

۴-۱-۴- تصحیح هندسی

امروزه تصاویر ماهواره ای لندست دارای یکسری تصحیحات، از جمله تصحیح هندسی و معمولاً زمین مرجع آند. در این تحقیق، به دلیل استفاده از سه سری تصویر متعلق به لندست ۵ و ۸ و ارتقای قدرت تفکیک مکانی لندست ۸ به پانزده متر و همچنین نیاز به انطباق آن با تصاویر لندست ۵ با قدرت تفکیک سی متر، تصحیح هندسی در نرم افزار ENVI به روش تصویر به تصویر^۱ انجام شد. خلاصه این روش عبارت است از تغییر سیستم مختصات اجزای سازنده تصویر و انطباق آن با تصویری که پیشتر روی آن تصحیح هندسی صورت گرفته است. پس از عملیات آماده سازی تصاویر ماهواره ای، این تصاویر را پردازش کردیم که شامل موارد زیر می شود.

۴-۲- طبقه بندی

در این تحقیق، طبقه بندی تصویر از نوع نظرارت شده است و براساس روش حداکثر احتمال صورت می گیرد. پیکسل های منتخب از طریق مقایسه مقادیر و مشخصات طیفی هر پیکسل با مشخصات از پیش تعیین شده به دست می آید.

۴-۲-۱- نمونه گیری

نمونه های آموزشی طی دو مرحله از عملیات میدانی جمع آوری می شود. مرحله اول پیش از طبقه بندی است؛ در این مرحله، جمع آوری نمونه ها برای شناخت محدوده مورد مطالعه و همچنین به دست آوردن نمونه های آموزشی مورد نیاز به منظور طبقه بندی انجام

گیاهی کم تراکم، اراضی بایر و مرتع، ساخت و ساز، سطوح آبی) طبقه بندی شد؛ بدین ترتیب نقشه پوشش زمین، در سطح شهرستان ورزقان در سال های مورد مطالعه تهیه شد و مساحت هریک از کلاس ها نیز به دست آمد که در جدول ۲ و ۳ درج شده است.

ارزیابی صحت طبقه بندی انجام شده طی مرحله پس پردازش، براساس دو فاکتور که صحت طبقه بندی نقشه را نشان می دهند، صورت گرفت.

از مهم ترین فاکتورهایی که در گام اول، در ماتریس خطا مورد توجه قرار می گیرد دقت کلی^۱ است. با توجه به محاسبات برای اعتبار سنجی و ارزیابی صحت طبقه بندی، به ویژه ضریب کاپا، مشاهده می شود که طبقه بندی با دقت نسبتاً بالایی انجام شده و از اعتبار مطلوبی برخوردار است.

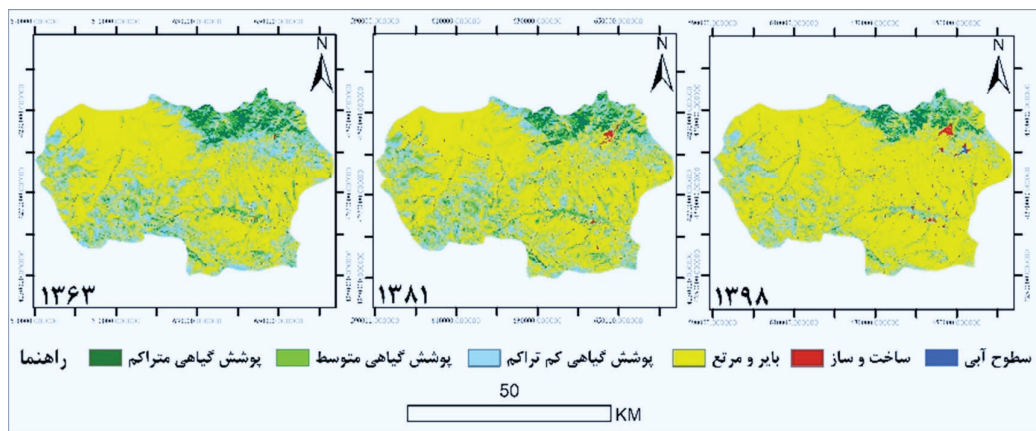
۵-۱- آشکار سازی تغییرات
بر این اساس، نقشه طبقه بندی حاصل از تصاویر سال های مورد نظر وارد محیط نرم افزار Terrset شد و تحلیل آشکار سازی تغییرات روی آن انجام شد.

۴-۴- محاسبه متريک های كيفي و كمي و سيمای سرزمين

متريک های سرزمين ابزارهایی به منظور اندازه گيری كمي سازی و بيان وجهه های گوناگون الگوی سيمای سرزمین در هر لحظه از زمان آند. پيش از تجزيه و تحليل سيمای سرزمین، باید داده ها آماده سازی شوند. در اين مطالعه، قبل از ورود داده ها به نرم افزار Fragstats ، عمليات موردنیاز آماده سازی داده در محیط نرم افزار Terrset با توجه به كيفيت رستری بودن داده ها، روی نقشه های طبقه بندی شده پوشش زمین شهرستان ورزقان انجام شد. متريک های كيفي نيز در همين نرم افزار تهيه شد.

۵- یافته های تحقیق
طبق عنوانین و فرایندهای ذکر شده در مرحله پيشين، یافته های ذيل حاصل شد.

۵-۱- پوشش زمین
همان گونه که در روش تحقیق بيان گردید، پس از عمليات آماده سازی يا همان پيش پردازش و طی عمليات پردازش، پوشش زمین براساس شش کلاس (پوشش گیاهی متراکم، پوشش گیاهی متوسط، پوشش



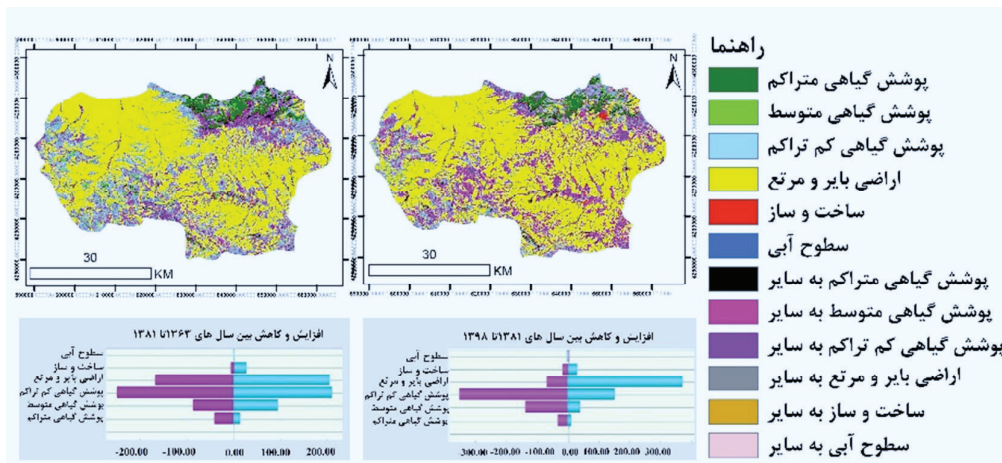
شکل ۲. نقشه های پوشش زمین در سطح کل شهرستان

1. Overall Accuracy

آذر پویان جم و حسن محمودزاده

جدول ۱. سنجش اعتبار کل

سال	دقت کلی	ضریب کاپا
۱۳۶۳	۹۵٪/۸۰۰۴	۰/۹۴۹۶
۱۳۸۱	۹۵٪/۰۴۱۷	۰/۹۴۰۵
۱۳۹۸	۹۹٪/۰۰۰۰	۰/۹۸۸۰



شکل ۳. نقشه‌های تغییرات پوشش زمین

جدول ۲. نسبت تغییرات در بازه ۱۳۶۳-۱۳۸۱

سطح آبی	ساخت و ساز	اراضی باز و مرتع	پوشش گیاهی کم تراکم	پوشش گیاهی متوسط	پوشش گیاهی متراکم
۰	۳/۴۲	۶۹/۳	۲۸۷/۷۳	۱۱۰۳/۶۷	۷۹۴۴/۲۱
۰/۰۹	۳۱/۰۵	۸۴۶/۴۵	۵۳۳۲/۵	۱۰۰۴۸/۰۵	۳۳۳۷/۷۴
۲/۷	۱۱۳/۷	۱۴۱۱۱/۷۳	۳۴۸۱۸/۳	۶۳۳۵/۴۴	۵۴۷/۳۸
۰/۹	۵۳۹/۰	۱۱۸۴۷۷/۰۸	۱۸۸۳۳/۸۵	۱۱۰۹/۷	۱۷۶/۷۶
۰	۸۸۲/۷	۱۸۳۱/۳۲	۵۵۳/۵	۱۶۳/۸	۱۴۰/۳۱
۰	۰	۱/۴۴	۶/۵۷	۶/۳۹	۰

جدول ۳. نسبت تغییرات در بازه ۱۳۸۱-۱۳۹۸

سطح آبی	ساخت و ساز	اراضی باز و مرتع	پوشش گیاهی کم تراکم	پوشش گیاهی متوسط	پوشش گیاهی متراکم
۰	۳/۴۲	۱۹/۷۱	۱۰۴/۴۹	۱۰۳۹/۵۹	۶۰۹۶/۶۹
۰	۵۳/۶۴	۲۶۴/۹۶	۱۵۴/۶۷	۵۵۵۱/۹۲	۲۲۴۷/۳۹
۲/۷	۲۵۵/۹۹	۴۵۱۳/۵	۲۰۸۳۵/۱۸	۹۹۵۴/۲۷	۸۷۰/۳
۰/۹	۱۶۵۷/۱۷	۱۳۲۰۹۶/۰۶	۳۳۷۶۶/۶۶	۲۸۵۰/۲۱	۱۶۷/۲۲
۰	۱۶۲۱/۰۸	۲۰۴۵/۳۴	۶۷۲/۹۳	۱۶۳/۲۳	۲۰/۷
۱۴/۳۱	۱۰/۹۸	۱۵۴/۶۲	۹۲/۶۱	۲۹/۲۵	۰/۷۲

شاخص شکل چشم انداز (LSI)^۴: نسبت طول کل لبه های لکه در هر کلاس به کل مساحت سیما، از جمله شاخص های شکل که افزایش آن نشان دهنده پیچیدگی شکل چشم انداز است و برعکس؛
شاخص میانگین وزن منطقه (AWMSI)^۵: متوسط شاخص وزنی شکل لکه به اندازه نسبی لکه، افزایش این شاخص نیز نشان دهنده پیچیدگی شکل چشم انداز است و برعکس؛
درصد چشم انداز (PLand)^۶: درصد اشغال هر کلاس در کل سیماست.

۳-۵- متريک های سيمای سرزمين

متريک های کی اندازه گيری شده در نرم افزار Fragstats شامل متريک های زیر می شود که در ادامه، در جدول ۴ آمده است.

تعداد لکه (NP)^۱: معرف تعداد لکه های هر کلاس در سطح کل است؛
میانگین مساحت لکه (MPA)^۲: معرف اندازه میانگین مساحت لکه های یک کلاس در سطح سیماست؛
نسبت بزرگ ترین اندازه لکه به کل سیما (LPI)^۳:
نسبت بزرگ ترین لکه از یک کلاس را به کل مساحت سیمای سرزمن نشان می دهد و $0 \leq LPI \leq 100$

جدول ۴. شاخص های کمی محاسبه شده در نرم افزار Fragstats

پوشش زمین	سال	NP	MPA	LPI	LSI	AWMSI	PLAND
پوشش گیاهی متراکم	۱۳۶۳	۱۷۸۶	۶/۸۲۱	۰/۷۱۶۸	۴۹/۸۶۲۶	۵/۹۶۵۶	۳/۵۹۸۱
	۱۳۸۱	۱۵۴۰	۶/۱۰۹۴	۰/۴۷۴۸	۴۸/۰۰۷۷	۴/۳۸۳۸۷	۲/۷۸۶۶
	۱۳۹۸	۱۷۱۳	۴/۲۴۲۹	۰/۴۸۱۳	۴۴/۹۴۷۳	۷/۰۴۱۳	۲/۱۵۲۷
پوشش گیاهی متوسط	۱۳۶۳	۵۳۹۵	۳/۴۸۳۴	۰/۰۹۸۷	۱۲۵/۶۹۵۸	۳/۸۷۷۶	۵/۰۵۶۶
	۱۳۸۱	۵۱۶۳	۳/۷۶۶۲	۰/۱۳۱	۱۲۲/۱۴۴۵	۴/۰۹۰۵	۵/۱۰۰۱
	۱۳۹۸	۷۴۴۶	۱/۲۸۶۴	۰/۰۶۹۵	۱۲۸/۵۷۷۳	۳/۹۷۱۳	۲/۱۸۳۷۱
پوشش گیاهی کمتر اکم	۱۳۶۳	۶۵۷۶	۹/۱	۳/۱۳۸۷	۱۶۱/۰۹۶۹	۲۱/۱۵۱۶	۱۷/۷۲۳۷
	۱۳۸۱	۸۱۷۹	۶/۸۴۱۶	۰/۰۸۶۷۳	۱۷۷/۰۹۲۵	۱۱/۳۵۰۳	۱۶/۵۷۳۳
	۱۳۹۸	۱۴۵۳۱	۲/۰۰۶۷	۰/۰۶۲۹۷	۱۹۱/۲۲۳۹	۹/۴۲۷۳	۱۰/۷۸۷۴
ارضی باز و مرتع	۱۳۶۳	۲۸۳۴	۴۷/۷۵۶۶	۳۵/۳۸۸	۷۹/۶۵۳۱	۵۰/۷۳۳	۴۰/۰۸۵۳
	۱۳۸۱	۲۸۵۹	۴۸/۶۸۰۸	۳۶/۲۶۴۳	۸۹/۷۷۷۶	۶۰/۷۷۵۲	۴۱/۱۲۳۱
	۱۳۹۸	۴۵۱۲	۳۷/۵۹۱۴	۴۸/۱۱۷۷	۷۸/۲۲۱۲	۶۲/۱۲۰۹	۵۰/۲۳۵۴
ساخت و ساز	۱۳۶۳	۲۰۳	۷/۷۲۳۸	۰/۰۳۸۴	۳۴/۴۲۴۵	۵/۲۳۱۷	۰/۴۶۵
	۱۳۸۱	۳۹۱	۹/۱۳۶۷	۰/۱۲۸۴	۵۰/۷۵۶۹	۶/۳۰۱	۱/۰۵۸۱
	۱۳۹۸	۹۶۰	۴/۷۱۵۳	۰/۱۴۷۹	۷۹/۹۹۷۸	۶/۱۵۸۱	۱/۲۴۰۷
سطح آبی	۱۳۶۳	۱	۳/۶۹	۰/۰۰۱۱	۱/۶۱۵۴	۱/۶۱۵۴	۰/۰۰۱۱
	۱۳۸۱	۲	۷/۲	۰/۰۰۴۱	۱/۵۳۸۵	۱/۲۸۲۳	۰/۰۰۴۸
	۱۳۹۸	۲۱	۱۴/۴۰۴۳	۰/۰۵۷۶	۴/۹۴۸۳	۲/۴۸۲۷	۰/۰۸۹۶

1. Number of Patches
2. Mean Patch Area
3. Largest Patch Index
4. Landscape Shape Index
5. Area Weighted Mean Shape Index
6. Percentage of landscape

۳) تراکم حاشیه: شاخص مهمی در نمایش ناهمگنی در سطح سیمات است و افزایش آن پاره‌پاره‌شدنی اکوسیستم را می‌رساند؛
 ۴) شاخص مساحت لکه: معرف سطح لکه‌های اشغال شده از هر کلاس در هکتار است؛
 ۵) فشردگی لکه: ساختار لکه بر حسب تراکم در سیما را نشان می‌دهد.
 با توجه به اندازه تمامی لکه‌ها در شاخص‌های کیفی مذکور، در پایان، میانگین عددی شاخص‌های کیفی لکه‌ها نیز محاسبه شد تا تفسیری از نقشه‌های محاسبه شده شکل ۴ باشد.

۴-۵- محاسبه شاخص‌های سیماتی سرزمنی به صورت کیفی در نرم‌افزار TerrSet

در این تحقیق، پنج شاخص کیفی سیماتی سرزمنی را در نرم‌افزار Terrset محاسبه کردیم که شامل این موارد می‌شود:

- ۱) آنتروپی نرمال‌سازی شده: همان‌گونه که از اسم آن پیداست، بین نظمی بین لکه‌های هر کلاس را نشان می‌دهد. با افزایش تعداد لکه، مقدار آن افزایش می‌یابد و از یکنواختی پوشش درون همسایگی کاسته می‌شود؛
- ۲) غنای نسبی: بیشترین تعداد لکه در واحد همسایگی در سطح سیما را مشخص می‌کند؛

جدول ۵. معرفی متريک‌های کييفي سيماتي سرزمنين

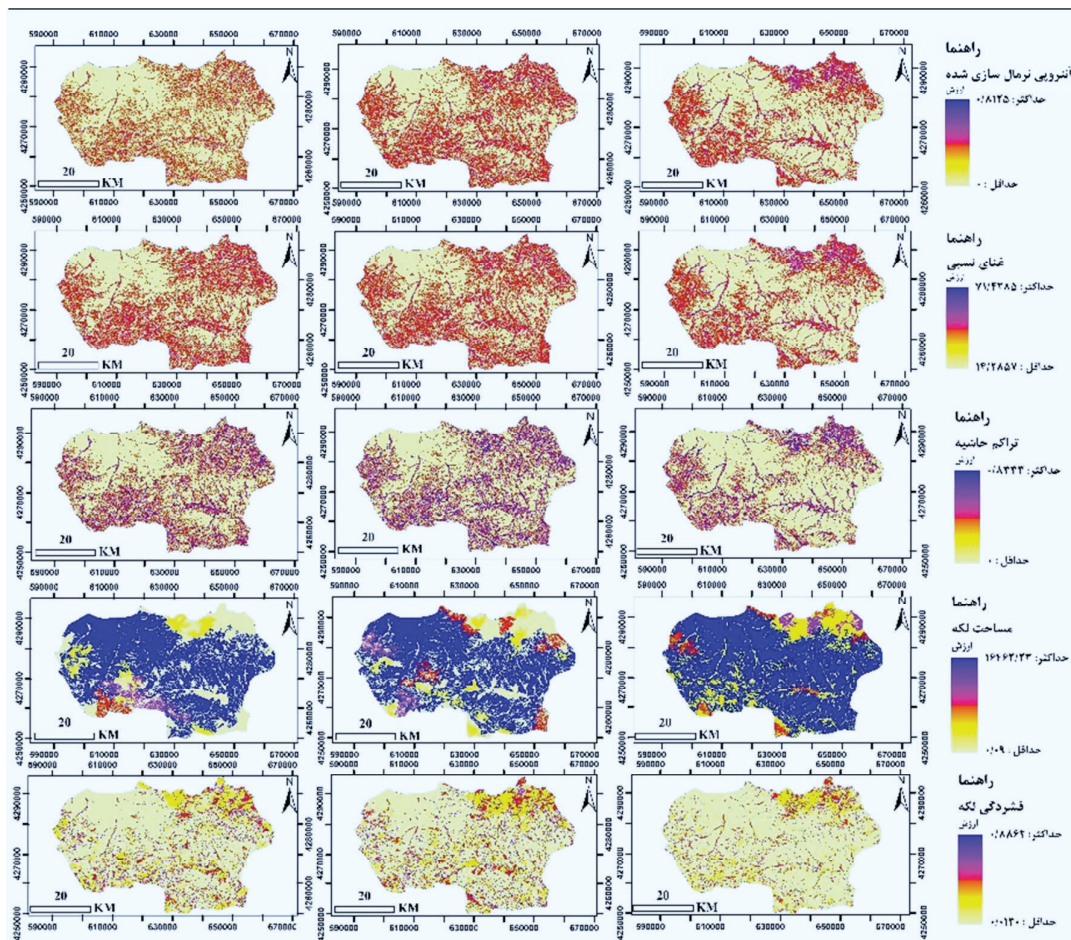
نام	تعريف	واحد	دامنه تغيير	فرمول
آنتروپي نرمال‌سازی شده ^۱	آنترپی Shannon که از طریق حداکثر آنتروپی برای تعداد کلاس‌های پوشش اراضی مربوطه نرمال‌سازی شده است	$\frac{H}{\ln(n)}$	$0 < NE < 1$	$E = -(p^*(p)) / \ln(n)$ سهم هر کلاس درون همسایگی = p تعداد کلاس‌ها = n
غنای نسبی ^۱	نسبت تعداد طبقات متفاوت در واحد همسایگی به حداکثر تعداد طبقات	$\frac{R}{n}$	$0 \leq RR \leq 100$	$R = n/nmax * 100$ تعداد کلاس‌های حاضر در همسایگی = n بیشترین تعداد کلاس‌های ممکن = nmax
تراکم حاشيه ^۱	تعداد جفت پیکسل‌های مجاور متفاوت در همسایگی	$\frac{ED}{A}$	$ED \geq 0$	$ED = \sum_{i=1}^{n-1} ik$ کلاس ik = طول کل حاشیه‌های لکه‌های یک مساحت کل سیماتی سرزمنی = A
مساحت لکه ^۱	اراضی به صورت یک لکه محاسبه می‌شود. وسعت آنها و خروجی تصویری است که هر پیکسل آن سطح لکه‌ای را نشان می‌دهد که به آن تعلق دارد	$\frac{Area}{m^2}$	$-$	$Area > 0$
فشردگي لکه ^۱	گروه‌بندی پیکسل‌های مجاور متعلق به یک کلاس پوشش اراضی به صورت یک لکه محاسبه تراکم آنها و خروجی تصویری است که هر پیکسل آن نشان‌دهنده تراکم لکه‌ای است که به آن تعلق دارد	$\frac{PC}{m^2}$	$PC > 0$	$C = \sqrt{AP/AC}$ تابع ریشه دوم = \sqrt{C} مساحت لکه‌ای یک کلاس = AP مساحت دایره‌ای که محیطی برابر با لکه دارد = AC

ارزیابی تغییرات اکولوژیکی و تحلیل الگوهای حاکم بر چشم انداز

۱۳۶۳

۱۳۸۱

۱۳۹۸



شکل ۴. نقشه‌های متربک‌های کیفی سیمای سرزمین

جدول ۶. میانگین محاسبه شده شاخص‌های کیفی

میانگین فشرده‌گی لکه	میانگین لکه	میانگین مساحت لکه	میانگین حاشیه	میانگین تراکم	میانگین غنای نسبی	میانگین نرمال سازی شده	سال	پوشش زمین
۰/۲۵۶۵۶۱	۹۵۳/۴۷۵۶	۹۵۳/۴۷۵۶	۰/۱۶۶۲۲۹	۰/۱۵۷۱۲۳	۰/۱۳۸۳۵۶	۰/۱۳۸۳۵۶	پوشش گیاهی مترآکم	۱۳۶۳
۰/۲۹۶۹۶۳	۴۶۰/۰۵۹۲	۴۶۰/۰۵۹۲	۰/۱۸۱۱۷۵	۰/۱۵۰۲۶۶	۰/۱۵۰۲۶۶	۰/۱۵۰۲۶۶		۱۳۸۱
۰/۲۰۰۸۳۷	۷۴۷/۲۷۳۱	۷۴۷/۲۷۳۱	۰/۱۹۴۸۳۲	۰/۱۵۶۷۶۸	۰/۱۵۶۷۶۸	۰/۱۵۶۷۶۸		۱۳۹۸
۰/۳۴۵۴۰۵	۴۴/۷۶۵۵۳	۴۴/۷۶۵۵۳	۰/۳۱۴۴۰۲	۰/۲۶۹۰۰۳	۰/۲۶۹۰۰۳	۰/۲۶۹۰۰۳	پوشش گیاهی متوسط	۱۳۶۳
۰/۳۳۵۷۷۴	۵۹/۰۸۴۶۴	۵۹/۰۸۴۶۴	۰/۳۰۴۷۱۴	۰/۲۵۸۳۲۶	۰/۲۵۸۳۲۶	۰/۲۵۸۳۲۶		۱۳۸۱
۰/۳۵۲۲۳۱	۲۹/۷۱۳۴۲	۲۹/۷۱۳۴۲	۰/۴۰۸۲۴۶	۰/۲۳۸۳۲۸	۰/۲۳۸۳۲۸	۰/۲۳۸۳۲۸		۱۳۹۸
۰/۱۵۴۴۴۳	۳۱۸۶/۲۹۵	۳۱۸۶/۲۹۵	۰/۲۲۸۲۲۴	۰/۱۹۵۰۰۵	۰/۱۹۵۰۰۵	۰/۱۹۵۰۰۵	پوشش گیاهی کم تراکم	۱۳۶۳
۰/۱۹۸۱۵۸	۷۳۹/۲۸۵۳	۷۳۹/۲۸۵۳	۰/۲۵۵۵۱۷	۰/۲۱۹۱۱۳	۰/۲۱۹۱۱۳	۰/۲۱۹۱۱۳		۱۳۸۱
۰/۲۱۸۲۵۱	۳۵۵/۴۳۳۵	۳۵۵/۴۳۳۵	۰/۳۱۲۸۶۱	۰/۲۵۷۵۴۸	۰/۲۵۷۵۴۸	۰/۲۵۷۵۴۸		۱۳۹۸
۰/۰۴۳۵۷	۱۰۶۱۰۶/۸	۱۰۶۱۰۶/۸	۰/۰۸۰۶۵۳	۰/۰۶۷۴۱۲	۰/۰۶۷۴۱۲	۰/۰۶۷۴۱۲	اراضی باز و مرتع	۱۳۶۳
۰/۰۴۱۱۵۳	۱۰۷۸۰۲/۵	۱۰۷۸۰۲/۵	۰/۰۹۰۳۸۸	۰/۰۷۵۵۸۵	۰/۰۷۵۵۸۵	۰/۰۷۵۵۸۵		۱۳۸۱
۰/۰۲۳۸۵	۱۵۶۵۴۱/۴	۱۵۶۵۴۱/۴	۰/۰۷۱۸۴۹	۰/۰۵۷۴۹۵	۰/۰۵۷۴۹۵	۰/۰۵۷۴۹۵		۱۳۹۸

ادامه جدول ۶ میانگین محاسبه شده شاخص های کیفی								
پوشش زمین	سال	میانگین نرمال سازی شده نرسی	میانگین تراکم حاشیه	میانگین مساحت لکه	میانگین لکه	فشردگی لکه	میانگین	میانگین آنتروپی
ساخت و ساز	۱۳۶۳	۰/۲۶۳۰۳۱	۲۷/۷۵۷۴	۰/۳۰۵۵۹۴	۴۲/۸۱۸۱۸	۰/۳۴۸۰۴۶		
	۱۳۸۱	۰/۲۶۱۰۳۱	۲۷/۶۴۰۰۲	۰/۳۰۲۴۹۵	۱۰۹/۰۳۷۲	۰/۲۵۰۲۲۲		
	۱۳۹۸	۰/۳۰۶۴۲۸	۲۹/۹۴۶۱۵	۰/۳۷۵۴۴۲	۸۷/۶۵۷۷	۰/۲۱۲۸۵۵		
سطح آبی	۱۳۶۳	۰/۲۶۶۷۲۲۳	۲۸/۲۲۳	۰/۲۹۷۷۶۴	۳/۶۹	۰/۵۴۰۴۴		
	۱۳۸۱	۰/۱۳۶۳۱۹	۲۱/۵۱۷۸۶	۰/۱۷۲۴۸۳	۱۳/۱۹۵۱۳	۰/۶۸۰۷۹۸		
	۱۳۹۸	۰/۰۸۹۶۵	۱۹/۰۰۳۷	۰/۱۰۳۴۲۹	۱۳۸/۹۲۰۹	۰/۳۷۴۲۹۱		

۶- بحث و نتیجه‌گیری

نشان دهنده تخریب و ازبین رفتن بیشتر در قیاس با سایر کلاس هاست. عواملی همچون خشکسالی و کاهش نزولات جویی و افزایش ساخت و ساز از دلایل مهم این مسئله محسوب می شود. در کلاس های بایر و مرتع، ساخت و ساز و سطوح آبی در هر دو دوره، با افزایش شاخص NP همراه بوده است. میزان شاخص MPA در آن نیز، بر حسب انفصال و اتصال لکه ها، متغیر بوده و حاصل از بین رفتن و تخریب سطوح پوشش گیاهی به نفع آنهاست.

محاسبات شاخص LPI در سطح کلاس نیز نشان می دهد همواره بزرگ ترین لکه، در طول سه دوره، به کلاس بایر و مرتع تعلق داشته است. این شاخص، در دو کلاس پوشش گیاهی متوسط و پوشش گیاهی کم تراکم، در بازه اول افزایش و در بازه دوم کاهش یافته است. در بازه اول، فرایند اتصال لکه ها و در بازه دوم فرایند انفصال رخ داده است. در مرور پوشش گیاهی مترکم، به طور متنابه، فرایند انفصال رخ داده و در سه کلاس بایر و مرتع، ساخت و ساز، و سطوح آبی نیز فرایند اتصال بر لکه ها حاکم بوده است.

شاخص LSI نشان دهنده فرایند تغییر شکل لکه های یک کلاس است و افزایش آن بیان می کند بیشتر لکه های هر کلاس محیطی بیشتر از مساحت و کشیدگی و گسترش در جهات گوناگون جغرافیایی دارند. نتایج نشان می دهد نامنظم بودن شکل لکه ها در بازه اول، افزایش و در بازه دوم، کاهش یافته است و

براساس نتایج حاصل از آشکارسازی تغییرات، در دو بازه زمانی سال های ۱۳۶۳-۱۳۸۱ و ۱۳۸۱-۱۳۹۸، پوشش های گیاهی در هر سه سطح، به ویژه در بازه دوم، رشد منفی داشته و در مقابل، بر پوشش کلاس اراضی بایر و مرتع، ساخت و ساز و سطوح آبی افزوده شده است. نتایج متربک های کمی نشان می دهد که شاخص NP، در کلاس پوشش گیاهی مترکم در بازه اول، کاهش و در بازه زمانی دوم، افزایش داشته که با توجه به شاخص MPA که در بازه اول افزایشی و در بازه دوم کاهشی است، کوچک شدن لکه ها و انفصال آنها در طول بازه دوم را نشان می دهد. از دلایل آن می توان به قطع کردن درختان، عبور جاده از میان این اراضی و تخریب آن به نفع ساخت و ساز اشاره کرد. کلاس پوشش MPA گیاهی متوسط، در بازه اول، دارای شاخص بیشتری است؛ در حالی که میزان شاخص NP در آن کاهش یافته است. این مسئله اتصال لکه های این کلاس را نشان می دهد. از دلایل آن می توان به تبدیل اراضی با پوشش گیاهی مترکم به اراضی با پوشش گیاهی متوسط اشاره کرد که سبب یکپارچگی این کلاس شده است. در بازه دوم نیز، با کاهش شدید شاخص MPA همراه با افزایش شایان توجه NP رویه را شدیم که تقسیم لکه به قطعات کوچک تر و انفصال میان آنها را نشان می دهد. در کلاس پوشش گیاهی کم تراکم نیز، به طور متنابه در هر دو بازه زمانی، میزان شاخص MPA کاهش و شاخص NP افزایش یافته که

پوشش گیاهی بهدلیل پاره‌پاره شدن، در مجموع، میزان آن کاهش یافته زیرا تعداد لکه و افزایش مساحت کلاس اراضی بایر و مرتع که سهم عمده‌ای در چشم‌انداز دارد، با کاهش مواجه بوده است. شاخص مساحت لکه پیکسل‌های مجاور را گروه‌بندی می‌کند و خروجی آن تصویری است که در آن هر پیکسل سطحی را نشان می‌دهد که هر لکه به آن تعلق دارد. طبق مقایسهٔ تصویر خروجی و جدول، کاهش این شاخص به‌سبب وجود تعداد لکه‌های بیشتر در سطح کمتر و افزایش آن به‌علت قرارگرفتن تعداد لکه‌های کمتر در سطح بیشتر است. افزایش این شاخص، در کلاس اراضی بایر و مرتع نیز توسعه و یکپارچگی این کلاس را بیان می‌کند. علت افزایش شاخص مساحت لکه در پوشش گیاهی متراکم، در بازهٔ اول، قطعه‌قطعه شدن آن است که در ابتداء، سطح بیشتری را به خود اختصاص داده است. نتیجهٔ آن در شاخص فشرده‌گی لکه نیز نمایان است؛ به این صورت که لکه‌ها کوچک‌تر و فشرده‌تر شده است. در بازهٔ دوم، بهدلیل ازبین‌رفتن لکه‌ها، در هر دو شاخص مساحت و فشرده‌گی کاهش دیده می‌شود. شاخص فشرده‌گی در گروه اشخاص‌های آرایش فضایی قرار دارد و ساختار سیمای سرزمهین را نشان می‌دهد. روند کاهشی این شاخص، در کلاس بایر و مرتع و سطوح آبی، نشان‌دهنده وسعت مساحت لکه‌های آنهاست که حاصل فشرده شدن لکه‌های سایر کلاس‌ها محسوب می‌شود. بیشترین تغییرات به کلاس‌های پوشش گیاهی، به‌ویژه در سطح کمتر اکم و در بازهٔ زمانی دوم تعلق دارد که علاوه‌بر کاهش مساحت، شامل افزایش تعداد لکه‌ها نیز می‌شود و بیشترین سهم را در تبدیل شدن به اراضی بایر و مرتع دارد. دو متريک کمی تعداد لکه و درصد چشم‌انداز نیز، در مقایسه با متريک‌های کمی و شاخص مساحت لکه و فشرده‌گی لکه، تغییرات و الگوهای حاکم بر سیمای سرزمهین را بسیار مطلوب‌تر نشان می‌دهند.

لکه‌ها فضای کمتری را به خود اختصاص می‌دهند. طبق مقایسهٔ شاخص AWMSI با دو شاخص LPI و LSI چنین به‌نظر می‌رسد که در شاخص شکل LSI محیط لکه دارای اهمیت است و در AWMSI، مساحت لکه‌ها اهمیت دارد؛ در واقع، هرچه لکه کمپهای‌تر باشد، میزان این شاخص افزایش می‌یابد.

شاخص PLAND به درصد تخصیص هر کلاس در سطح چشم‌انداز اشاره دارد و بیش از سایر متريک‌ها ما را به شناخت سیما رهنمون می‌کند. با توجه به جدول، فقط در بازهٔ اول، درصد چشم‌انداز پوشش گیاهی متوسط افزایش داشته و در طول هر دو بازه، دو پوشش گیاهی دیگر کاهش و اراضی بایر و مرتع و سطوح آبی افزایش داشته‌اند. محاسبات حاصل از شاخص‌های کیفی نشان می‌دهد کلاس‌های دارای آنتروپی زیاد سبب ایجاد بی‌نظمی بیشتر در الگوی سیمای سرزمهین می‌شود. این بی‌نظمی با تعداد و تنوء لکه‌ها رابطه مستقیم دارد. این شاخص، در هر سه کلاس پوشش گیاهی در دو بازه، افزایش داشته است که بیان می‌کند بیشترین تغییرات الگوی سیما ناشی از آن است و سایر کلاس‌ها را نیز دستخوش تغییر کرده است. شاخص غنای نسبی که بیانگر بیشترین تعداد لکه در واحد همسایگی در سطح سیمای نیز، همچون شاخص آنتروپی نرمال، افزایش آن علاوه‌بر تعداد لکه‌ها به نزدیکی لکه‌ها به یکدیگر نیز وابسته است. کاهش آن در سه کلاس اراضی بایر، ساخت‌وساز و سطوح آبی نشان‌دهنده یکپارچگی بیشتر در سطوح این کلاس‌هاست.

شاخص تراکم حاشیه حاصل طول کل حاشیه‌های لکه‌های یک کلاس بر مساحت کل سیمای سرزمهین است. این شاخص، در نمایش پاره‌پاره شدن اکوسیستم، اهمیت بسیاری دارد و میزان آن با درجه ناهمگنی سیمای سرزمهین مرتبط است. افزایش آن به‌معنی افزایش تعداد و گسترش لکه‌ها در جهات متفاوت منطقه مورد مطالعه است. مقایسهٔ جدول و نقشهٔ آن نشان می‌دهد، با وجود افزایش میزان آن در سه کلاس

- منابع - ۷

- Abu Hammad, A. & Tumeizi, A., 2012, **Land Degradation: Socioeconomic and Environmental Causes and Consequences in the Eastern Mediterranean**, Land Degradation and Development, 23(3), PP. 216-226.
- Ahmadi Mirghaed, F., Mohammadzadeh, M., Salman Mahini, A. & Mirkarimi, S.H., 2016, **Integrating Visual and Environmental Elements Using Fuzzy and Multi Criteria Evaluation Methods for Aesthetic Quality Assessment of Gharahsou Watershed, Golestan Province**, Journal of RS and GIS for Natural Resources, 7(3), PP. 46-60.
- Akbari, H. & Kalbi, S., 2019, **Modeling the Diversity of Tree Species in Circular Forest Forests Using GeoEye Images (Case Study: Sari Gardeshi Series)**, Journal of Wood and Forest Science and Technology, 26(2), P. 51-62.
- Alan, B., Noon, R. & George, T.L., 2002, **What Is Habitat Fragmentation**, Study in Avian Biology, 25(20), P. 29.
- Alipour, E., Khaleghi, A. & Talebifard R., 2016, **Analysis of Tourism Development Capabilities City Varzeqan**, Journal of Man and Environment, 1(1), PP. 97-118.
- Calviño-Cancela, M., Rubido-Bará, M. & van Etten, E.J., 2012, **Do Eucalypt Plantations Provide Habitat for Native Forest Biodiversity?**, Forest Ecology and Management, 270, PP. 153-162.
- De Montis, A., Martín, B., Ortega, E., Ledda, A. & Serra, V., 2017, **Landscape Fragmentation in Mediterranean Europe: A Comparative Approach**, Land Use Policy, 64, PP. 83-94.
- Dinka, M.O. & Chaka, D.D., 2019, **Analysis of Land Use/Land Cover Change in Adei Watershed, Central Highlands of Ethiopia**, Journal of Water and Land Development, 41, PP. 146-153.
- Faraji sabokbar, H., Motiee langroodi, S.H., Yadollahi farsi, J. & karimzadeh, H., 2012, **Ranking the Development of Tourism and its Backgrounds in Rural Areas, Using Gray Topsis (Case Study: Rrual Areas of Varzaghan Township)**, Journal of Rural Research, 3(9), PP. 1-24.
- General population and housing census, 2015, Iran Statistics Center.
- Gorgani, M., Varasteh Moradi, H., & Rezaei, H., 2013, **Investigation of density and diversity indicators of the bird community in natural and hand-planted forests in the non-breeding season, the second environmental planning and management conference**, Tehran, <https://civilica.com/doc/147523>
- Hafezzadeh, M., 1997, **Arshbaran in the Passage of History and Epics**, Vol. 1, Tabriz, Mohammad Azadi Publications.
- Hunter, M.L., 1990, **Wildlife, Forests, and Forestry: Principle of Managing Forests for Biological Diversity**, Audubon Field Notes, 24, PP. 722-726.
- Koopman, K.R., Straatsma, M.W., Augustijn, D.C.M., Breure, A.M., Lenders, H.J.R., Stax, S.J. & Leuven, R.S.E.W., 2018, **Quantifying Biomass Production for Assessing Ecosystem Services of Riverine Landscapes**, Science of The Total Environment, 624, PP. 1577-1585.
- Lam, N.S.N., Cheng, W., Zou, L. & Cai, H., 2018, **Effects of Landscape Fragmentation on Land Loss**, Remote Sensing of Environment, 209, PP. 253-262.
- Leite, A., Caceres, A., Melo, M., Mills, M.S.L. & Monteiro, A.T., 2018, **Reducing Emissions from Deforestation and Forest Degradation in Angola: Insights from the Scarp Forest Conservation ‘Hotspot’**, Land Degradation and Development, 29, PP. 4291-4300.
- Lillesand, T.M., **Remote Sensing and Image Interpretation**, 4th ed and Sons, inc. USA 2001, ISBN: 0471255157.
- Matthews, T.J., Cottee-Jones, H.E. & Whittaker, R.J., 2014, **Habitat Fragmentation and the Species–Area Relationship: A Focus on Total Species Richness Obscures the Impact of Habitat Loss on Habitat Specialists, Diversity and Distributions**, 20(10), PP. 1136-1146.

- Meade, M.S., 2014, **Medical Geography**, The Wiley Blackwell Encyclopedia of Health, Illness, Behavior, and Society, PP. 1375-1381.
- Nuri, M., 2004, **The Historical Face of Varzghan**, Tabriz: Prior Publications.
- Ouedraogo, I., Barron, J., Tumbo, S.D. & Kahimba, F.C., 2016, **Land Cover Transition in Northern Tanzania**, Land Degradation and Development, 27(3), PP. 682-692.
- Panahandeh, M. & Feyzi, S., 2020, **Analysis of Changes in the Scale of the Watershed Based on the Metrics and Spatial Patterns of the Landscape (Case Study: Anzali Watershed)**, Geography and Environmental Planning, 31(1), PP. 35-52.
- Partl, A., Vackar, D., Louckova, B. & Lorencova, E.K., 2017, **A Spatial Analysis of Integrated Risk: Vulnerability of Ecosystem Services Provisioning to Different Hazards in the Czech Republic**, Natural Hazards, 89(2), PP. 1185-1204.
- Paudyal, K., Baral, H., Bhandari, S.P., Bhandari, A. & Keenan, R.J., 2019, **Spatial Assessment of the Impact of Land Use and Land Cover Change on Supply of Ecosystem Services in Phewa Watershed, Nepal**, Ecosystem Services, 36(100895), PP. 1-49.
- Pouyan Jam, A., 2018, **The Application of Remote Sensing and GIS with the Aim of Evaluating Ecological Changes and their Impact on the Aesthetic Quality of Landscapes (Case Study of Varzeghan City)**, Master's thesis, University of Tabriz.
- Rahimi, E., Salman Mahini, A. & Soltanian, S., 2016, **A Comparison of Continuous and Discrete Indices in Measuring Gorgan Forest Landscape Fragmentation**, Journal of RS and GIS for Natural Resources, 7(3), PP. 30-45.
- Sabzghobai, Gh., Dashti, S., Jafarzadeh, K., Bazmara baleshti, M., 2016, **Evaluation of Urban Landscape Patterns to Measure the Effects of Urbanization on Landscape Structure (Case Study: Kermanshah City)**, Journal of Geography and Environmental Sustainability, 6(4), PP. 35-50.
- Saidi, Sep., Saidi, S., 2017, **Capturing Landscape Visual Characters Using Indicators: Touching Base with Landscape Aesthetic Theory**, Journal of Man and Environment, 15(2), PP. 71-91.
- Satayshi, F., Varasteh Moradi, H. & Salman Mahini, A., 2013, **Effects of the Size of Forest Patches on the Community of Birds, a Case Study: Gorgan**, National Conference of Environmental Sciences and Sustainable Development, Malayer, <https://civilica.com/doc/135947>.
- Wang, C., Wang, Y., Wang, R. & Zheng, P., 2018, Modeling and Evaluating Land-Use/Landcover Change for Urban Planning and Sustainability: A Case Study of Dongying City, China, Journal of Cleaner Production, 172, PP. 1529-1534.
- Wang, B., Li, Y., Wang, S., Liu, C., Zhu, G. & Liu, L., 2019, **Oasis Landscape Pattern Dynamics in Manas River Watershed Based on Remote Sensing and Spatial Metrics**, Journal of the Indian Society of Remote Sensing, 47, PP. 153-163.
- Zhang, Y., Liu, Y., Zhang, Y., Liu, Y., Zhang, G. & Chen, Y., 2018, **On the Spatial Relationship between Ecosystem Services and Urbanization: A Case Study in Wuhan, China**, Science of The Total Environment, 637-638, PP. 780-790.
- Zhang, X., Zhou, L. & Zheng, Q., 2019, **Prediction of Landscape Pattern Changes in a Coastal River Basin in South-Eastern China**, International Journal of Environmental Science and Technology, 16, P. 6376.



سنجش از دور ، ایران GIS



سنجش از دور و GIS ایران
سال پانزدهم، شماره دوم، تابستان ۱۴۰۲
Vol.15, No. 2, Summer 2023

Iranian Remote Sensing & GIS

1-16

Assessing ecological change and analyzing patterns governing the landscape Case study: Varzeghan county

Pouyan Jam A.¹ and Mahmoudzadeh H.^{2*}

1. M.Sc. of Remote Sensing and Geographic Information System, University of Tabriz, Tabriz
2. Associate Prof., Faculty of Planning and Environmental Sciences, University of Tabriz, Tabriz

Abstract

The increase in urban population following migration from villages and sometimes the uneven development of villages and the transformation of villages into cities are problematic factors in the environmental structure of developing countries, resulting in ecological changes, especially the destruction of natural landscapes. And reducing them is in the interest of man-made landscapes and disrupting spatial patterns of natural cover. The purpose of this study is to evaluate the ecological changes and measure the patterns governing the landscapes of Varzeqan city using quantitative and qualitative metrics of land appearance in the years 1363, 1381, 1398. The nature of research is developmental-applied and descriptive-analytical. Data were collected through library studies and field studies to calculate the detection of changes, and to measure the quantitative and qualitative metrics of the landscape. After preparing the land cover maps in ENVI software environment, TerrSet software was used to calculate the detection of changes and quality indicators of the land appearance and Fragstats software was used to calculate quantitative metrics. The results showed that the most changes are related to vegetation classes, especially at low density level and in the second interval, which in addition to reducing the area, also includes increasing the number of spots. And has the largest share in becoming barren and pasture lands. Also, two quantitative metrics of spot number (NE) and landscape percentage (PLand) of quantitative metrics and patch area index and patch compactness (Patch Compactness) more favorably show the changes and patterns governing the appearance of a land. they give.

Keywords: Ecological changes, Landscape metrics, Fragstats, Varzeqan city.

* Correspondence Address: Dep. of Geography and Urban planning, Faculty of Planning and Environmental Sciences, University of Tabriz, 29 Bahman Boulevard, Tabriz, Postal Code: 5166616471. Tel: (+9841) 33392296, Fax: (+9841) 3356013

Email: mahmoudzadeh@tabrizu.ac.ir
<https://orcid.org/0000-0001-5465-1114>
<https://dx.doi.org/10.48308/gisj.2023.102331>



Copyright: © 2023 by the authors. Submitted for possible open access publication under the terms and conditions of the Creative Commons Attribution (CC BY) license (<https://creativecommons.org/licenses/by/4.0/>).